

EECS2020_HW2

108032053 陳凱揚

1. Convolution sum and echo time estimation - noise remover

for echo time estimation

(a)假如我們想從含有雜訊的訊號中找出想要的訊號，則設計出的系統之

impulse response 應為欲得訊號的 reversal。因為在做 $x[n]$ 與 $h[n]$ 的

convolution 時，我們會先將 $h[n]$ 做 reversal，再將 $h[n]$ 向右平移與 $x[n]$

重疊，如下圖 1-1 所示，則當 $h[n]$ 為 $x[n]$ 的 reversal 時， $h[n]$ 與 $x[n]$ 可

以完全重合，使得乘積的總合最大，如下圖 1-2 所示。因此可透過 $h[n]$

與含雜訊之訊號做 convolution，在所得訊號之 peak 處，找出被 time delay 後之欲得訊號的位置，再由 time advanced 可得訊號之原始位置。

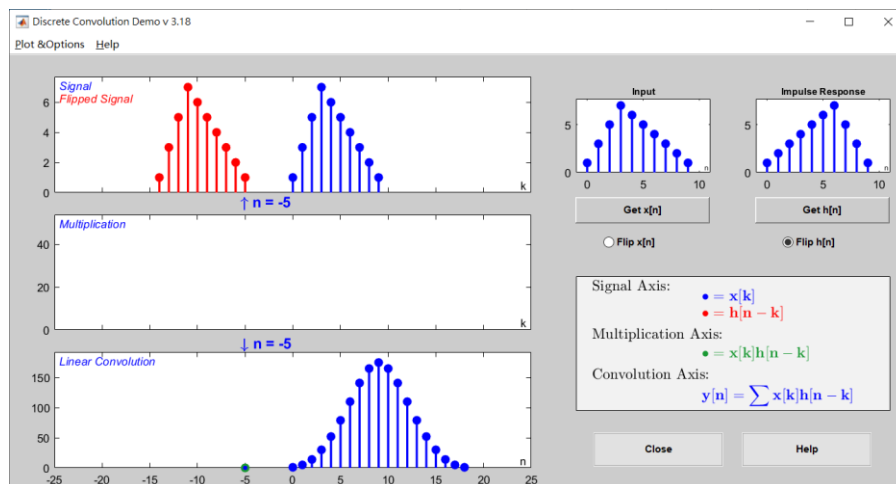


圖 1-1

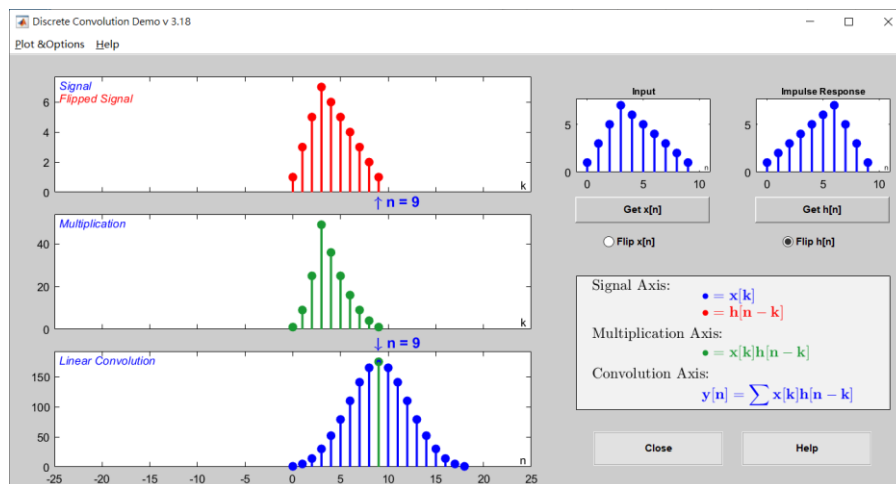


圖 1-2

(b) *MyConv()* 函式之實作程式碼如下圖 1-3 所示。且分別使用 *MyConv()* 與 MATLAB 之內建函式 *conv()* 計算 Example 2.4，並將其輸出相減，比較其差異，結果如下圖 1-4，可知兩種函式之計算結果完全相同。

```
function [y, support_y] = MyConv(x, support_x, h, support_h)
    support_y = [0 0];
    support_y(1) = support_x(1)+support_h(1);
    support_y(2) = support_x(2)+support_h(2);
    x_len = length(x);
    h_len = length(h);
    y_len = x_len+h_len-1;
    y = zeros(1, y_len);
    for i = 1:x_len
        idx = i;
        for j = 1:h_len
            y(idx) = y(idx)+x(i)*h(j);
            idx = idx+1;
        end
    end
end
```

圖 1-3

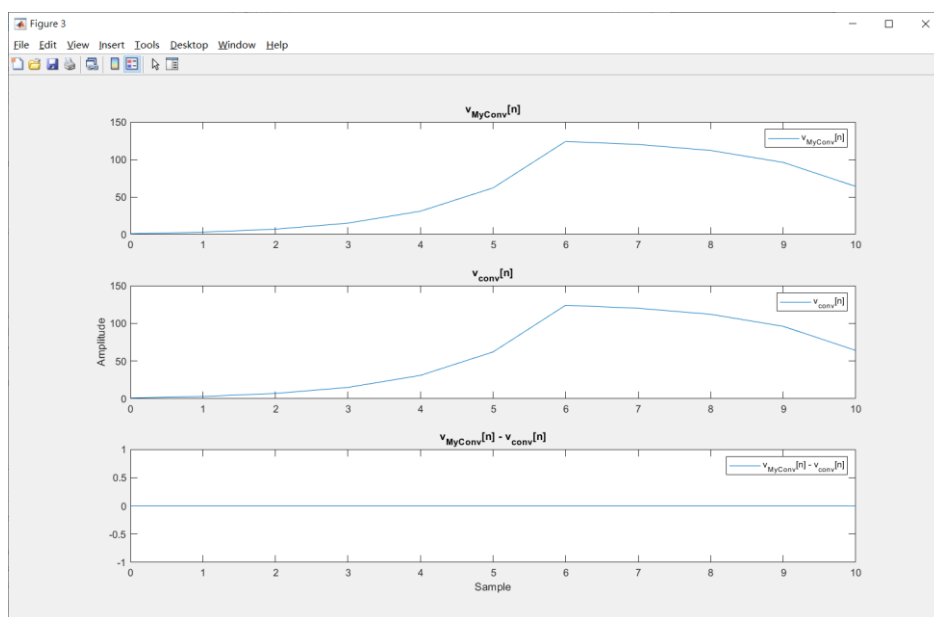


圖 1-4

(c) 下圖 1-5、圖 1-6 為含雜訊的訊號經過 noise remover 後的結果，並以 envelope 找出 $peak\ index = 2501$ ，且原始訊號 $x[n]$ 與 $\hat{h}[n]$ 在 convolve 後，輸出的訊號 $y[n]$ 會有 delay time $n_0 = (length(\hat{h}) - 1)/2 = 500$ ，因此 $echo\ time = (peak\ index - n_0) * (1/F_s) = 20.01(sec)$

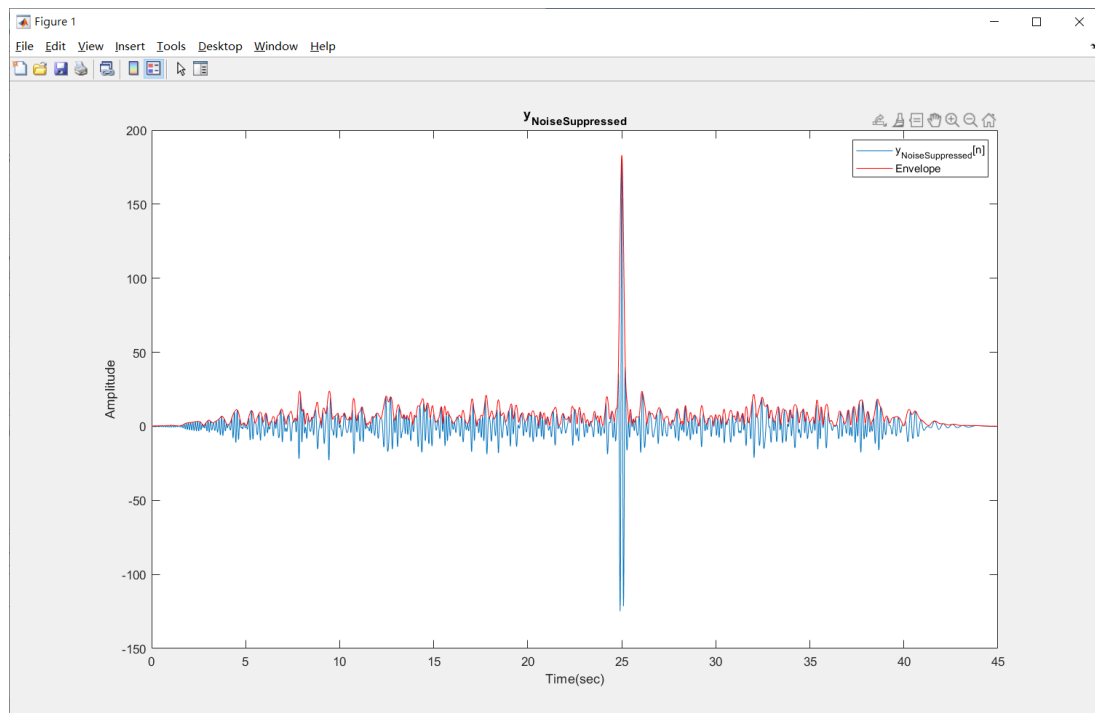


圖 1-5

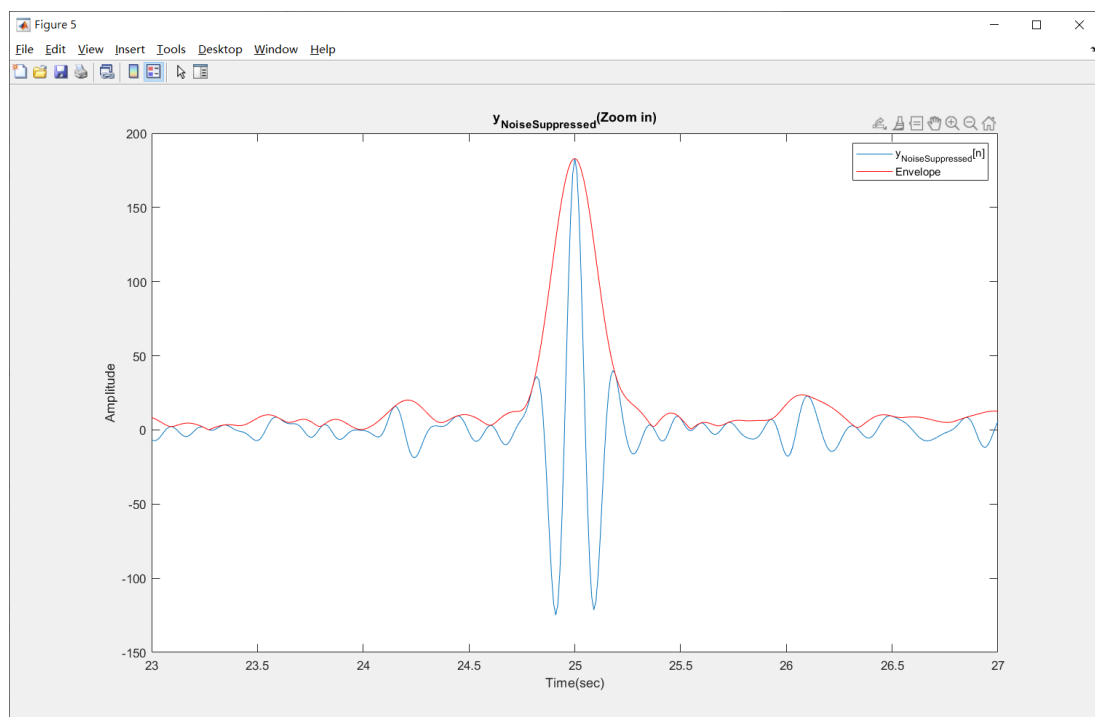


圖 1-6

(d)由於真實訊號為 continuous time，在經過 sampling 後，每個儲存的 sample 的間隔時間皆為 $1/F_s$ ，因此在我們從 discrete time 訊號中找出 echo time 時，與真實訊號的 echo time 相比，其誤差應為 $\pm 1/F_s$ 。

2. Reverberator implementation

(a) 以下為推導 reverberator 之 impulse response 的過程：

$$\begin{aligned}
 y[n] &= x[n] + ay[n - D] \\
 &= x[n] + a(x[n - D] + ay[n - 2D]) \\
 &= x[n] + ax[n - D] + a^2(x[n - 2D] + ay[n - 3D]) \\
 &= x[n] + ax[n - D] + a^2x[n - 2D] + a^3x[n - 3D] + \dots
 \end{aligned}$$

$$\begin{aligned}
 x[n] &= \delta[n] \\
 \rightarrow y[n] &= \delta[n] + a\delta[n - D] + a^2\delta[n - 2D] + a^3\delta[n - 3D] + \dots \\
 \rightarrow h[n] &= [1 \ 0 \dots 0 \ a \ 0 \dots 0 \ a^2 \ 0 \dots 0 \ a^3 \ 0 \dots], n_0 = 0 \\
 \text{When } a &= 0.7, D = 5 \\
 \rightarrow h[n] &= [1 \ 0 \ 0 \ 0 \ 0 \ 0.7 \ 0 \ 0 \ 0 \ 0 \ 0.49 \ 0 \ 0 \ 0 \ 0 \ 0.343 \dots], n_0 = 0
 \end{aligned}$$

下圖 2-1 為使用 MATLAB 的 *filter()* 函式所作出的 impulse response，與我們的推導過程相符。

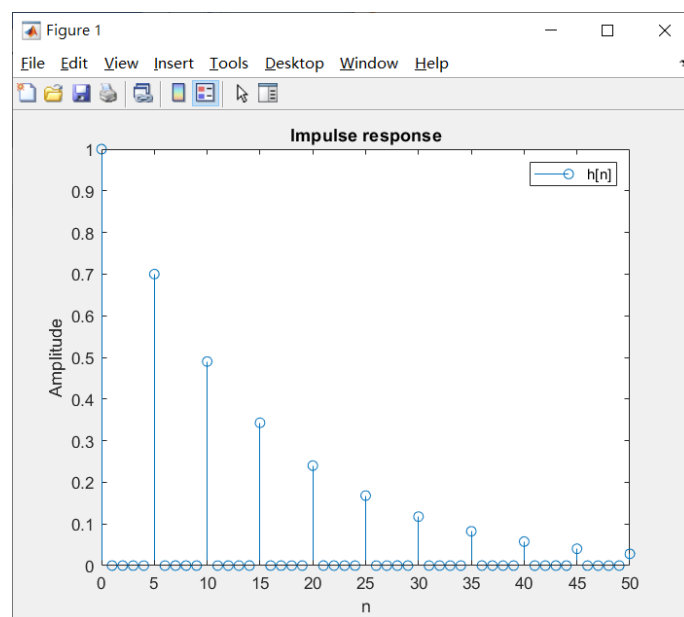


圖 2-1

(b) $y[n] = ay[n - D] + x[n]$ ，此為一 IIR 系統，無法實際操作此系統，但是當 $-1 < a < 1$ 時，可將此系統近似為一 FIR 系統並實際運算：

$$y[n] = x[n] + ax[n - D] + a^2x[n - 2D] + \dots \cong \sum_{k=0}^m a^k x[n - kD]$$

若要在 real time 實施此系統的話，其必須為一 causal 系統，因此條件為 $n \geq n - kD \rightarrow D \geq 0$ ，且 $h[n] = 0$, when $n < 0$ 。

另外，使系統為 stable 的條件為 $\sum |h[n]| < \infty$ ，此 reverberator 之

$$\sum_{k=0}^{\infty} |h[k]| = |1| + |a| + |a^2| + |a^3| + \dots = \lim_{k \rightarrow \infty} \frac{1(1 - |a|^k)}{1 - |a|}$$

當 $-1 < a < 1$ ， $\lim_{k \rightarrow \infty} \frac{1(1 - |a|^k)}{1 - |a|} = \frac{1}{1 - |a|} < \infty$ ，否則 $\lim_{k \rightarrow \infty} \frac{1(1 - |a|^k)}{1 - |a|} = \infty$ 。

因此當 $-1 < a < 1$ ，此 reverberator 為一 stable 系統，而 D 的值並不影響是否為 stable 系統，只代表取樣的間隔距離而已。

(c) 下圖 2-2 顯示了分別以 `Myconv()` 與 `conv()` 函式對音檔作 convolution 後的結果完全相同。而在 $y[n] \cong \sum_{k=0}^M a^k x[n - kD]$ 的 FIR 近似過程中，我決定 M 的方法為計算 $a^M < 0.001$ 之 M 的最小正整數解，此計算意義為當 $x[n - kD]$ 的比重小於千分之一時，則忽略不記。此系統的 $M = 20$ ，因此當 $k \geq M$ ，則 $a^k x[n - kD] \cong 0$ ，我們即可以 $y[n] \cong \sum_{k=0}^{19} a^k x[n - kD]$ ，實際計算此系統。

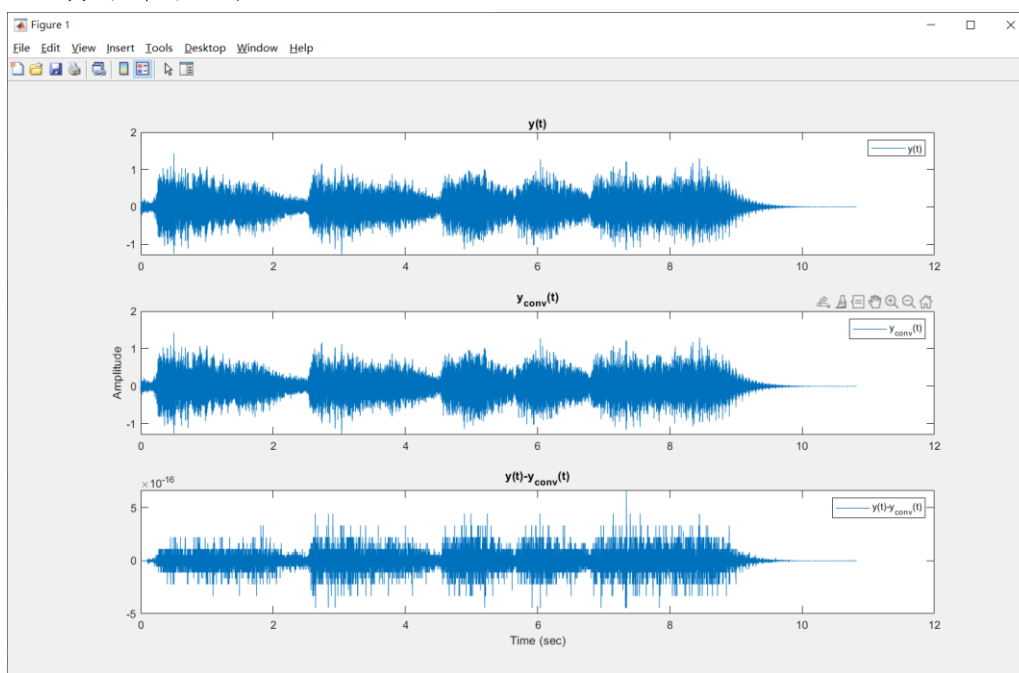


圖 2-2

下圖 2-3 為 $x(t)$ 和 $y(t)$ 的比較圖，可以發現 $y(t)$ 的振幅大多大於 $x(t)$ 的振幅，而 $x(t)$ 的聲音聽起來較為單薄，而在經過 reverberator 的 $y(t)$ 則聽起來有迴音感、較為飽滿。另外，由下圖 2-4 的放大比較圖，可以發現當 $t < 0.1$ 時， $x(t) = y(t)$ ，這是因為我們使用 `MyConv()` 的 initial condition 為 $y[n] = 0, x[n] = 0, \text{ when } n < 0$ ，所以在 $t < \tau$ 時， $x(t) = y(t)$ 。而在大約九秒之後的 $x(t)$ 與 $y(t)$ 的差異也漸漸變小，這是因為作為 input 的 $x(t)$ 已經結束，output 的 $y(t)$ 只剩下迴音留存。

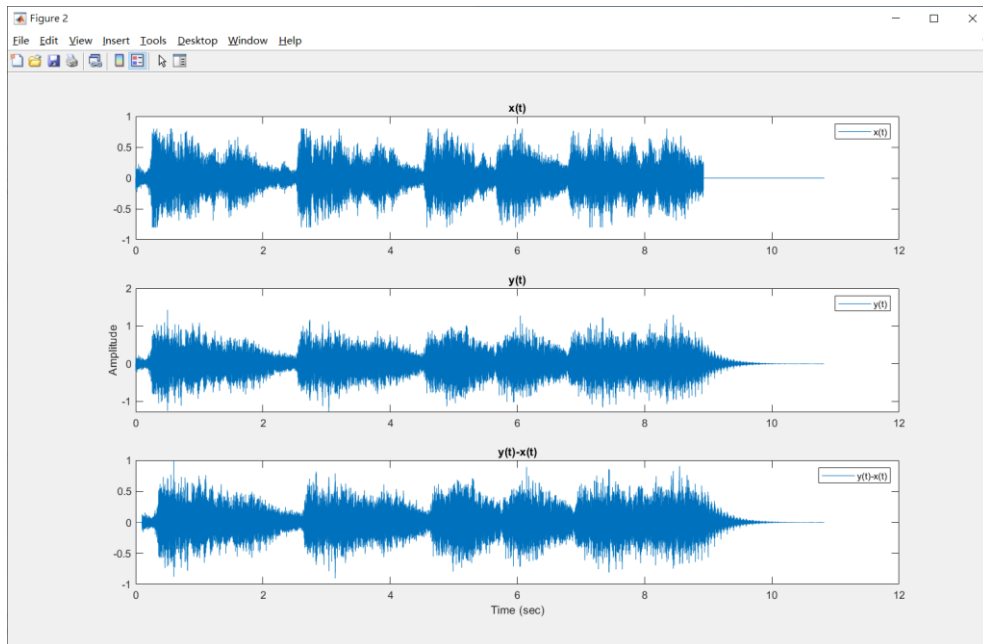


圖 2-3

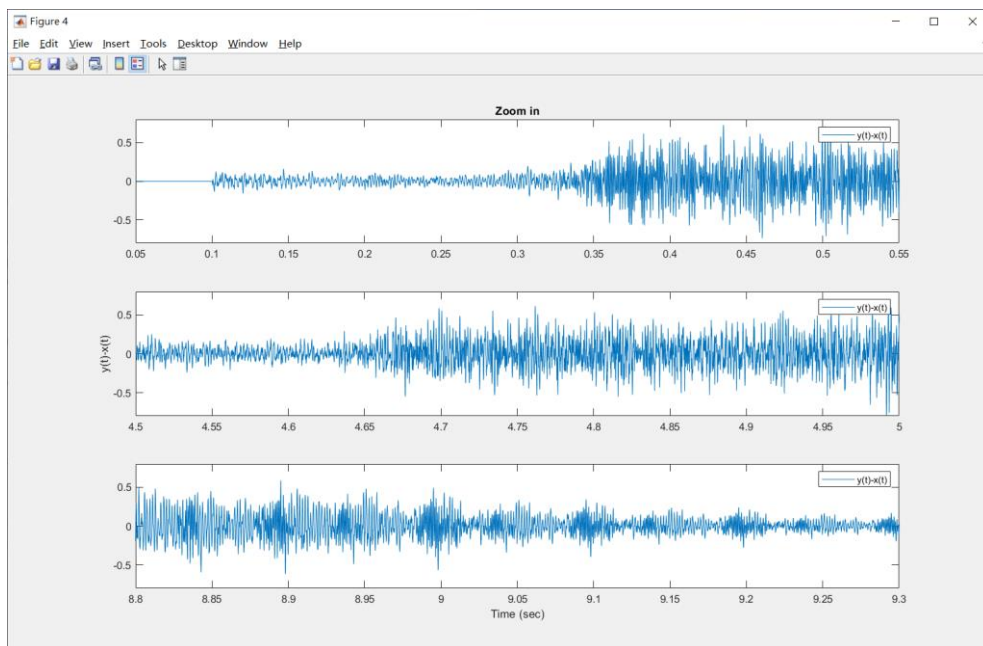


圖 2-4

(d)由下圖 2-5 可看出我們以 LCCDE 做出的結果與利用 *filter()* 函式做出的結果完全相同。在下圖 2-6 的 $x(t)$ 與 $y(t)$ 的比較圖，用肉眼看起來與 (c) 小題的比較圖幾乎相同，而在下圖 2-7 即顯示了以 (c) 小題的 FIR 系統與以 (d) 小題的 IIR 系統所得到的 output 幾乎相同，證明了此兩種方法所得出的結果可視為相同。但在下圖 2-8 可看出其仍有約 10^{-3} 的些微差距，這是因為將 IIR 系統近似於 FIR 系統的過程時，捨棄項所造成的結果。另外，在此題我使用的 initial condition 與 (c) 小題所使用的相同，都為 $y[n] = 0, x[n] = 0, \text{ when } n < 0$ 。

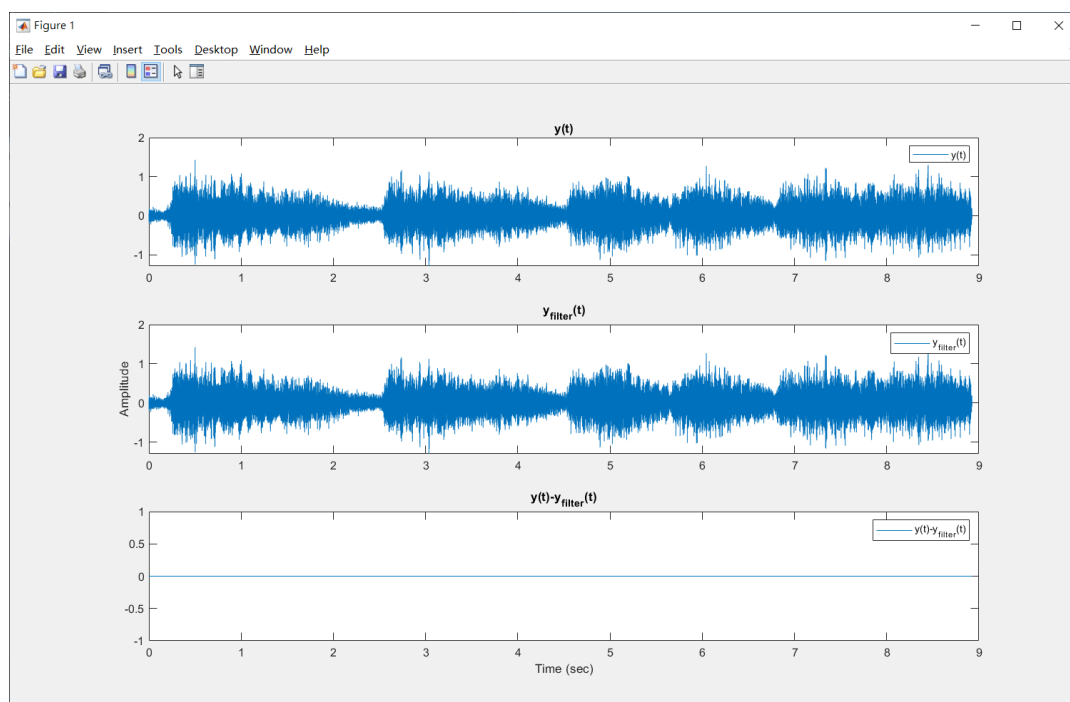


圖 2-5

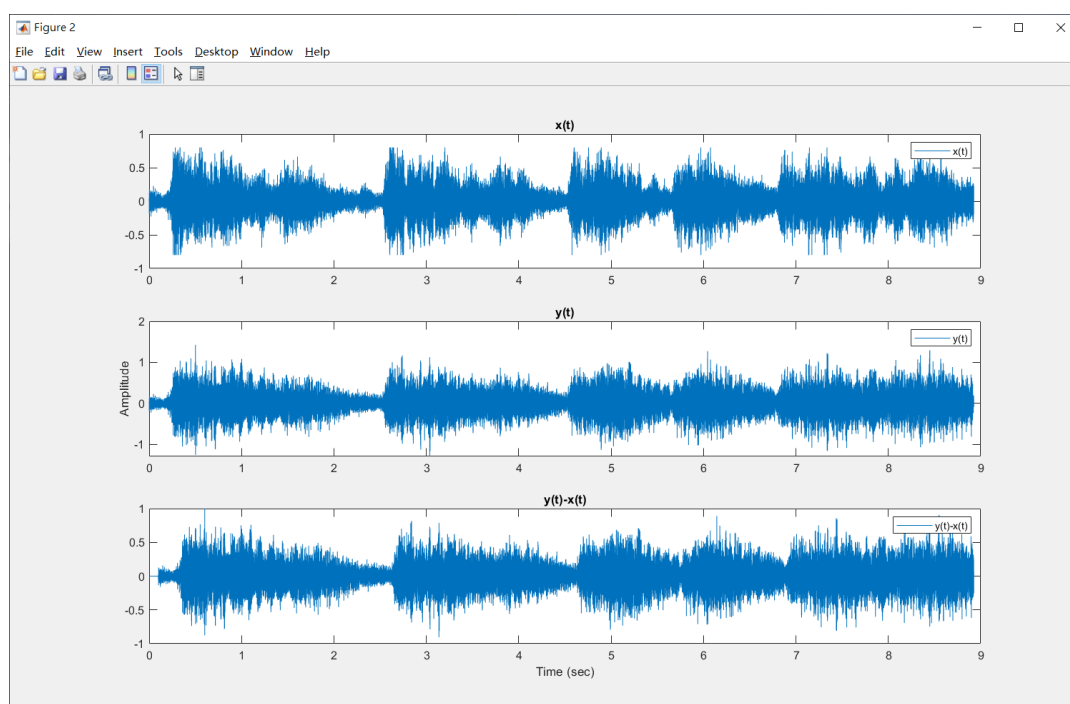


圖 2-6

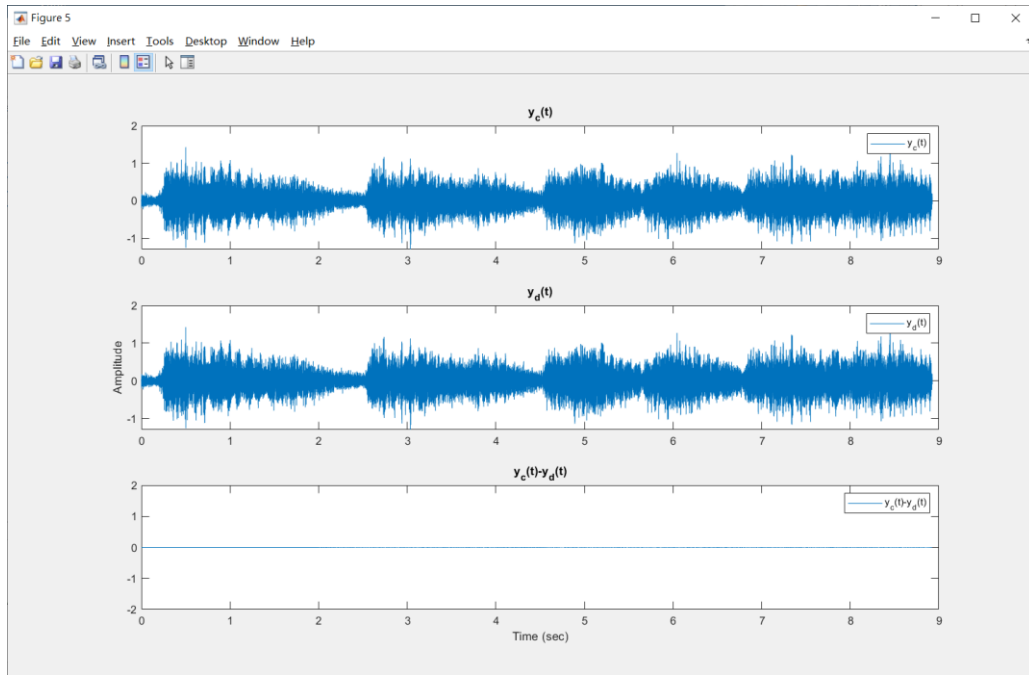


圖 2-7

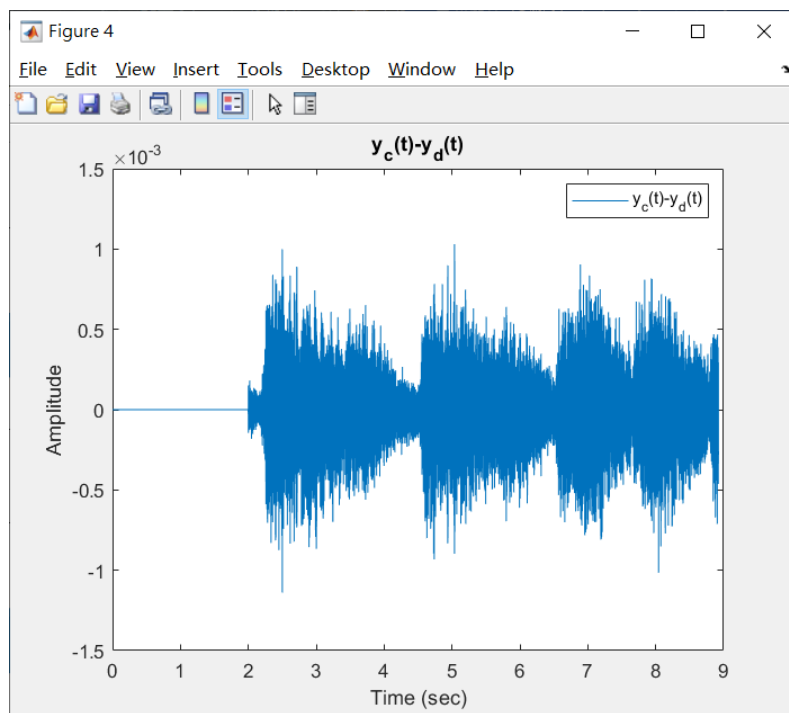


圖 2-8

(e)在(b)小題時，我們得出一個 stable 的 reverberator 系統的條件為 $-1 < a < 1$ ，因此在此題我將 a 分別設為 1.05 和 -1.05 ，即可得到一個 unstable 的系統，其波形如下圖 2-9 所示，數值會隨著時間，以指數成長。此時的音檔 output 在一開始的短暫時刻還能聽出正常的聲音，但隨著時間的增加， $y(t)$ 振幅也隨著指數上升，數值很快的就超越了電腦硬體所能播出的最大音量，變成了當機的聲音，聽起來像是一種槍聲在不斷的重複撥放。

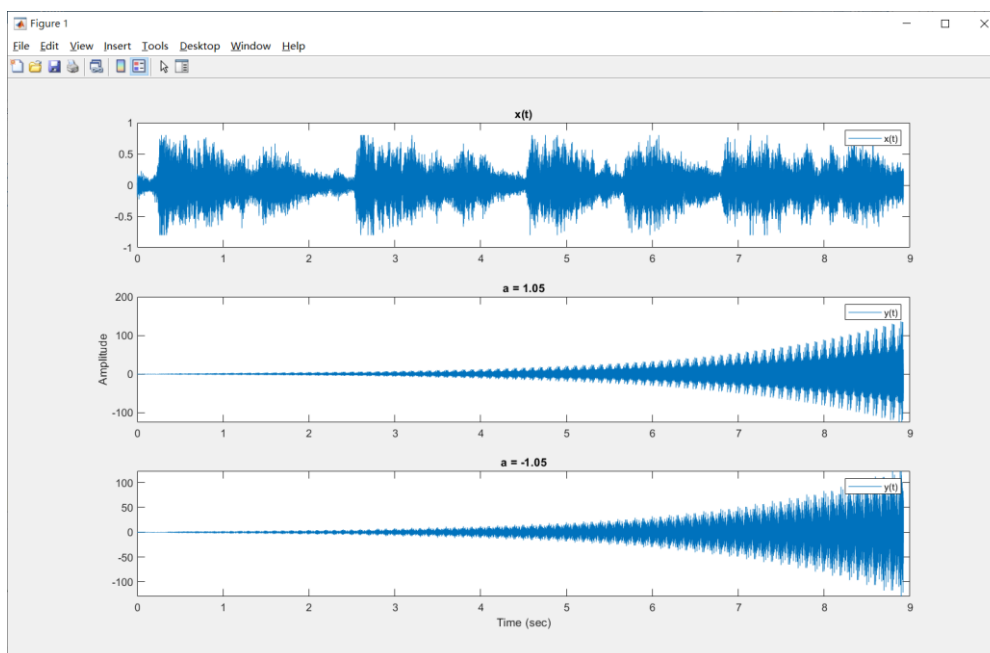


圖 2-9

(f)在之前的小題中，我們都將 initial condition 設為 $y(t) = 0, x(t) = 0$, when $t < 0$ ，而在這個小題，我們在 $t < 0$ 時將 $x(t)$ 分別設為 1, -1 和一個介於 $(-1, 1)$ 的一個隨機數，並比較不同的 initial condition 對輸出的影響。由下圖 2-10 和放大後的圖 2-11 可以看出 initial condition 主要影響在一開始的輸出，大約在 $0 \leq t \leq 0.2$ ，為 2 個 τ 的範圍，這是因為 $a^k = (0.7)^k$ ，當 $k > 2$ 時，其影響力就越來越小了，越難越看得出差別。這也可以由 $y(t) = y_{tr}(t) + y_{ss}(t)$ 來解釋，initial condition 主要影響的是 transient response，也就是一開始的輸出。

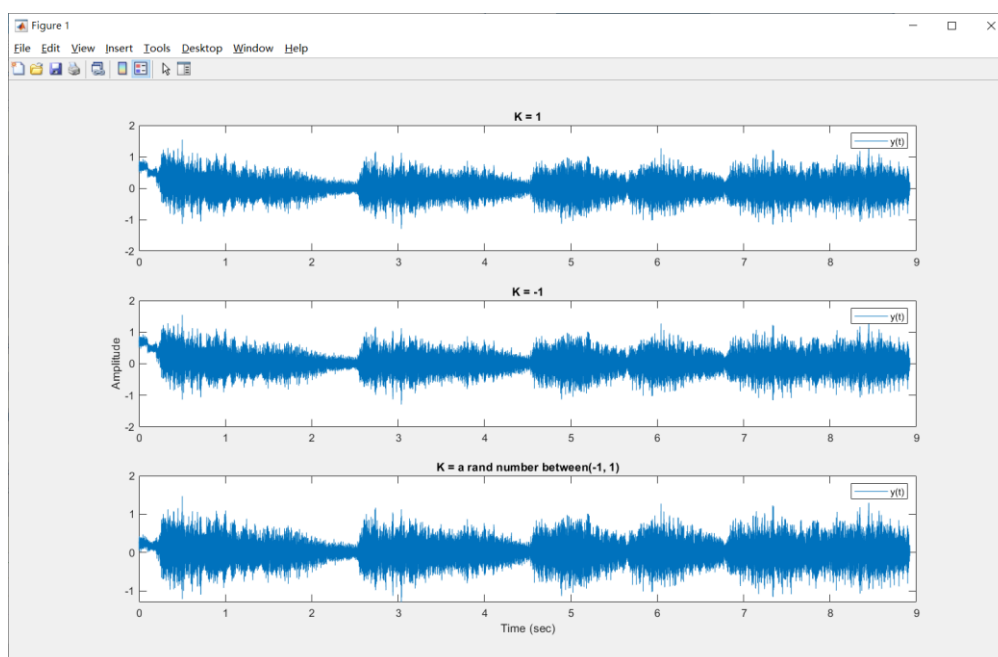


圖 2-10

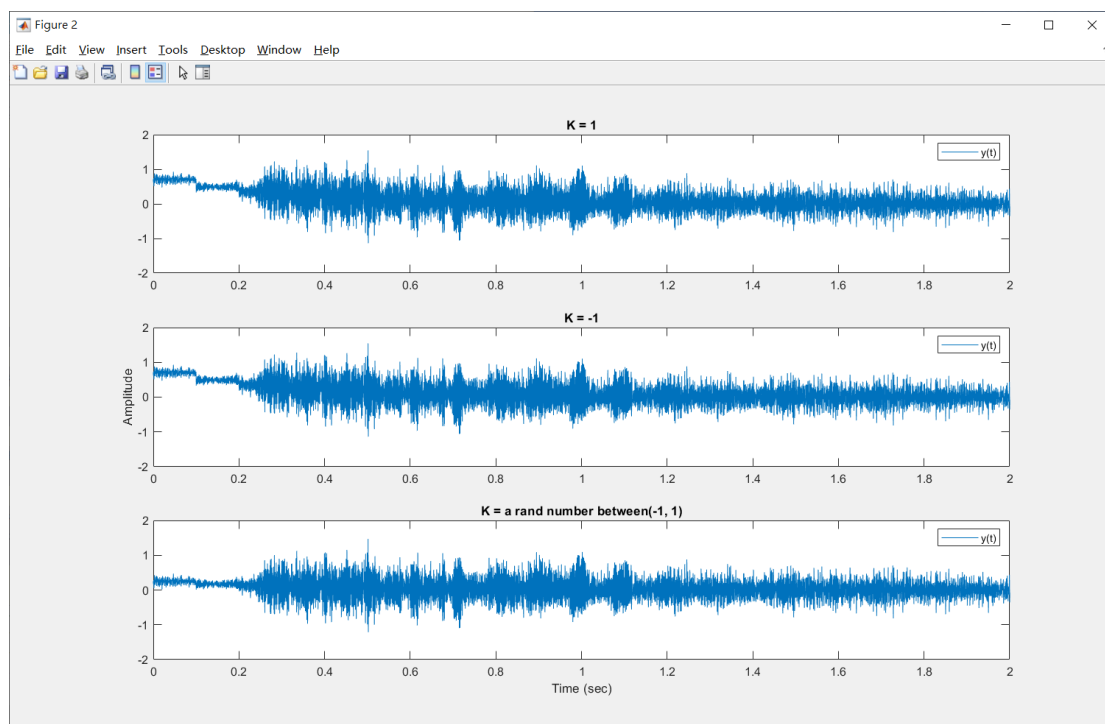


圖 2-11

(g)在這個小題我選擇了 3 個不同的 F_s 來做 magnitude response，並由於 $D = \tau F_s$ ，因此不同的 F_s 就有不同的 D 值，即代表不同的 reverberator，藉此找出不同系統的 magnitude impulse 差異。由圖 2-12 可看出圖形於 $(0, F_s/2)$ 具週期性，而此週期 T 與 D 有關，關係式為 $TD = 1$ ， T 的單位為 F_s ， D 沒有單位，例：當 $F_s = 50 \rightarrow D = \tau F_s = 5 \rightarrow T = 1/D = 0.2(F_s)$ 。

透過此關係式，我們可以知道當頻率 $f_0 = k * \frac{1}{D}$ ， $k \in N$ ， $f_0 \in (0, \frac{1}{2})$ 時，

此頻率會被系統最放大；當頻率 $f_0 = (k + \frac{1}{2}) * \frac{1}{D}$ ， $k \in N$ ， $f_0 \in (0, \frac{1}{2})$ 時，

此頻率會被系統最縮小，這邊頻率 f_0 所使用的單位為 F_s 。

Bonus：在(g)小題我們只考慮區間 $(0, F_s/2)$ 的頻率，這是因為 DT 訊號在頻率上具有週期性，也就是 $x[\omega, n] = x[\omega + \omega_0, n]$ ，where $\omega_0 = 2\pi$ 。以 $\omega \in (0, 2\pi)$ 作為討論，此時最高的頻率出現在 $\omega = \pi$ ，最低的頻率出現在 $\omega = 0, 2\pi$ ，頻率以 $\omega = \pi$ 為對稱，若要考慮到所有的頻率只需要取區間 $\omega \in (0, \pi)$ 即可，對應到 CT 訊號的頻率則為 $f_0 \in (0, F_s/2)$ 。

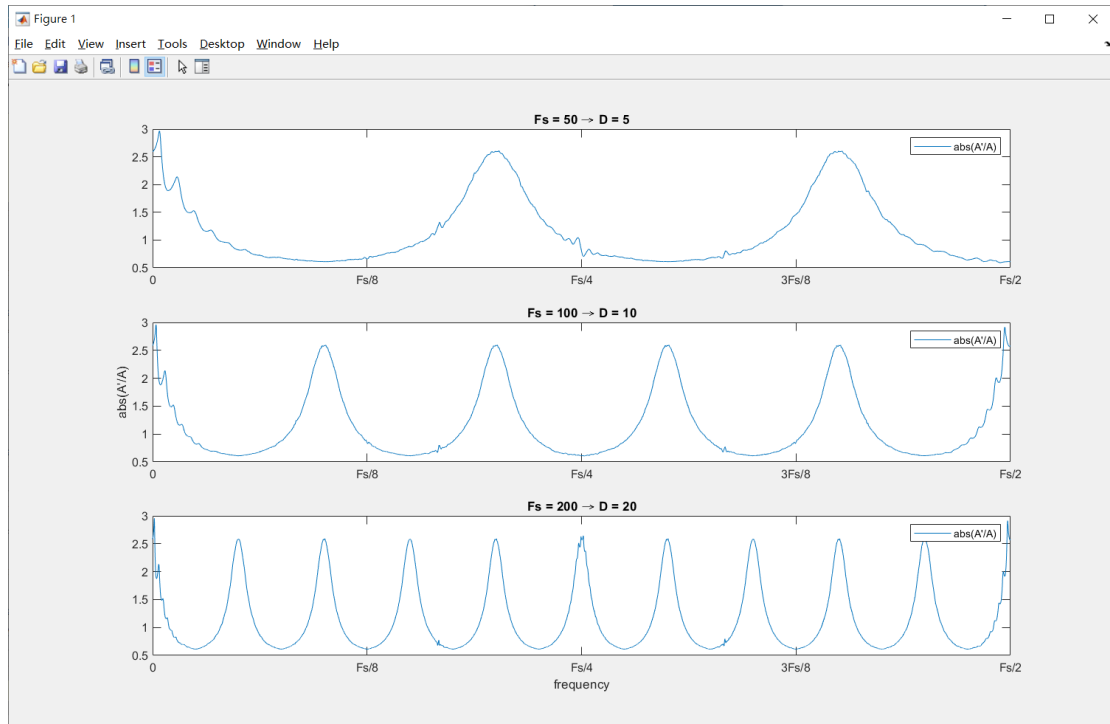


圖 2-12